

せん断変形の影響を考慮した薄肉骨組系の剛性マトリクス

北海道大学工学部 正員 稲農 知徳

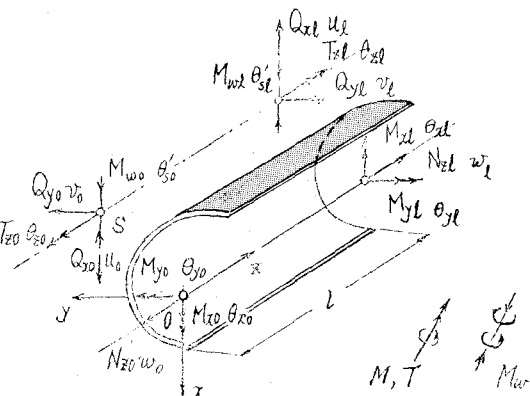
1. まえがき Wagner [1] によると、諸尊これまで曲げねじれ理論を基礎として、数多くの研究がなされ、曲げねじれ理論は系統的にまとめられていく [3, 4]。曲げねじれは薄肉構造を構成する各骨組のねじれ率がその軸方向にもはや一定でないから、薄肉構造曲げねじれを受けたり、ねじれれた断面のそりは軸方向へ変化する。即ち、そりは拘束をうけて軸方向に垂直ひずみとこれにみ反する2次のせん断ひずみが生ずる。この曲げねじれ理論にも構造設計に関して、垂直反力の計算など2次のせん断ひずみの影響を無視しているのが普通である。また実際設計上、一般的にはこれで十分であると思われる。しかし、この2次のせん断ひずみの影響が無視されることは無理で得られない場合がある。部材断面寸法に比して部材軸長工方向に短い場合は、加圧固定端のようにより拘束の強固な部材などはもはや無視するとは許し得ない。この2次のせん断変形を考慮した曲げねじれ理論も多くの研究がある [4~9]。一方、薄肉構造物の解析においても变形法による解析が複雑化する薄肉骨組系に対しては、多くの有利性をもつて認められている。従ってここで2次のせん断変形の影響を考慮した薄肉骨組系の剛性マトリクスを諸尊するには薄肉骨組系の解析となり容易にできるものと考える。剛性マトリクスを諸尊するため、微分方程式を基にしてより簡略な Anticongparameter Method の手法とする。

2. 假定とせん断変形を考慮した基礎微分方程式 薄肉直線柱と見なして、直角3-X-Y-Z構造を考える。Abb. 1 に示すように、部材軸方向に正轉と定め、これに右手系を以てX軸、Y軸を点Oを通かように定める。一般的に、軸力と2つの面の曲げによる基礎微分方程式は曲げ理論より得られ、曲げねじれに因る基礎微分方程式は曲げねじれ理論より求められる。特にせん断変形を考慮した基礎微分方程式を式(1)と式(2)に示すものとなる。

$$\frac{d^2w}{dz^2} = n_z, \quad \frac{d^4U_M(z)}{dz^4} = \frac{q_x}{EJ_y}, \quad \frac{d^2U_S(z)}{dz^2} = -\frac{q_x}{GA_{sx}}$$

$$\frac{d^4V_M(z)}{dz^4} = \frac{q_y}{EJ_x}, \quad \frac{d^2V_S(z)}{dz^2} = -\frac{q_y}{GA_{sy}}$$

----- (1) a-e



ここで n_z は薄肉部材要素上に分布する軸力係数であり

もし分布軸力がないものとすれば、要素内軸力は一定で

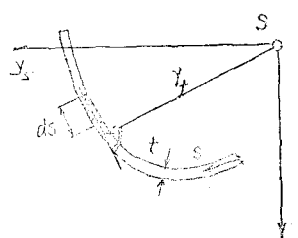
ある。 $U_M(z)$, $V_M(z)$ は曲げによる変位、 $U_S(z)$, $V_S(z)$ はせん断による変位である。

Abb. 1 斜材要素、座標、変形、断面力

$$GJ_s \frac{d\theta_s(z)}{dz} - EJ_w \frac{d^3\theta_s(z)}{dz^3} = T_s,$$

$$\frac{d\theta_s(z)}{dz} - \mu \frac{d\theta_s(z)}{dz} = \frac{T_s}{GJ_s}, \quad \mu = 1 - \frac{J_s}{J_c},$$

$$J_c = \int_F r_t^2 dF \quad ----- (2) a-d \quad \text{ここで } \theta_s'(z) \text{ は}$$



ねじれ率であり、 $\theta_s'(z)$ は軸変位の軸方向変化である。また、 J_c はねじれ

中心軸の周りの断面二次モーメントで、Abb. 2 を参照。式(2)は文献[3]

を参考していながら、他の文献[4~9]においても基礎微分方程式はせん断変形

影響係数が異なっている。たとえば、文献[6, 9]とlt;の関係式は式(3)となる。

Abb. 2 橫断面座標

$$\mu = \frac{\nu}{1+\nu} \quad (\text{文献 L6}) \quad \mu = \frac{1}{1+\alpha} \quad (\text{文献 L9}) \quad \dots \quad (3) a-b$$

さらに、断面力と変位の関係式として式(4)と式(5)を得る。

$$N_z(z) = EF \frac{dw(z)}{dz}, \quad Q_x(z) = GA_{zx} \frac{du_x(z)}{dz}, \quad Q_y(z) = GA_{zy} \frac{dv_y(z)}{dz}, \quad M_y(z) = -EJ_y \frac{d^2v_y(z)}{dz^2}, \quad \dots \quad (4) a-g$$

$$M_z(z) = -EJ_x \frac{d^2w(z)}{dz^2}, \quad T_z(z) = GJ_T \frac{d\theta_z(z)}{dz} - EJ_w \frac{d^2\theta_z(z)}{dz^2}, \quad M_w(z) = -EJ_w \frac{d^2\theta_z(z)}{dz^2} \quad \dots \quad (4) a-g$$

$$\frac{dN_z(z)}{dz} = -n_z, \quad \frac{dQ_x(z)}{dz} = -f_x, \quad \frac{dQ_y(z)}{dz} = -f_y, \quad \frac{dM_y(z)}{dz} = Q_x(z) \quad \frac{dM_z(z)}{dz} = Q_y(z)$$

$$\frac{dM_w(z)}{dz} = T_z(z) \quad \dots \quad (5) a-f \quad \therefore \text{て}, \quad N_z(z) = \text{軸力} \quad Q_x(z), Q_y(z) = \text{曲げ}$$

力, $M_z(z)$, $M_y(z)$ = 曲げモーメント, $T_z(z)$ = 2次ねじれモーメント, $T_z(z)$ = 1次ねじれモーメント, $T_z(z)$ = 全ねじれモーメント, $M_w(z)$ = 曲げねじれモーメントである。

3. せん断变形を考慮した剛性マトリックス 一軸材の断面を有する薄内部材を構成要素とする立体ラーメン要素の剛性は、各軸方向の変位(伸び)によって生ずる各方向へ軸方向剛性と、y方向の変位(たわみ)によつて生ずるx, y方向の曲げ剛性(x-y 平面内に作用する節点力に関する剛性)およびせん断中心軸に沿うねじれ角変位によつて生ずるねじれ剛性、曲げねじれ剛性に分離することができる。

(1) 軸方向力に関する剛性マトリックス 薄内部材要素上に分布した軸力はないと考るから、式(1)aより、

$$\frac{dw(z)}{dz} = c_1 \quad \dots \quad (6) \quad \text{式(6)を積分して,}$$

$$w(z) = C_1 z + C_2 \quad \dots \quad (7) \quad \text{式(4)a-b, 式(7)を代入 } v_i Q_{ij} \quad \dots \quad (7)$$

$$\text{す}, \quad N_z(z) = EF C_1 \quad \dots \quad (8)$$

Anfangsparameter は Ey , $z=0$ における端末条件を代入すると、 $w_0 = C_2$, $N_{z0} = EF C_1$, $\dots \quad (9) a-b$
故に、式(10)を得る。

$$w(z) = w_0 + \frac{N_{z0}}{EF} \cdot z, \quad N_z(z) = N_{z0} \quad \dots \quad (10) a-b$$

式(10)を $z=L$ における端末条件を代入すると式(11)となる。

$$\left. \begin{aligned} w_L &= w_0 + \frac{N_{z0}}{EF} \cdot L \\ N_{zL} &= N_{z0} \end{aligned} \right\} \quad \dots \quad (11) a-b$$

式(11)を N_0, N_L について解いてマトリックス表示すると式(12)を得る。ただし変位法における記号と方向の慣習に従って変換されている。

$$\begin{bmatrix} N_{zi} \\ N_{zj} \end{bmatrix} = \begin{bmatrix} \frac{EF}{L} & -\frac{EF}{L} \\ -\frac{EF}{L} & \frac{EF}{L} \end{bmatrix} \begin{bmatrix} w_i \\ w_j \end{bmatrix} \quad \dots \quad (12)$$

(2) 曲げに関する剛性マトリックス 平面ラーメン要素の剛性マトリックスとして x-z 平面内に作用する節点力に関するもとのと導く。式(1)b-c すなはち、要素上に作用荷重がないとすると、式(1)とより式(13)を

$$EJ_y \frac{d^4 u_y(z)}{dz^4} = 0, \quad GA_{zx} \frac{d^2 u_x(z)}{dz^2} = 0 \quad \dots \quad (13) a-b \quad \text{積分すると, 離解は式(14)となる。}$$

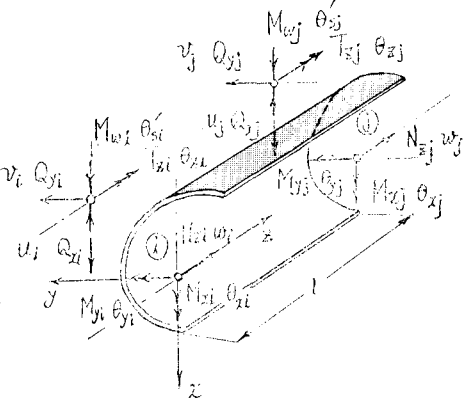


Abb. 3: 变位法に対する変形と断面力



Abb. 4: 軸力と部材要素

$$u_M(z) = C_1 z^3 + C_2 z^2 + C_3 z + C_4 \quad \dots \quad (14)$$

式(4)d, 式(5)d および $\theta_y(z) = u'_M(z)$ とおこなうから式(15)を得る。

$$\left. \begin{aligned} \theta_y(z) &= 3C_1 z^2 + 2C_2 z + C_3 \\ M_y(z) &= -EJ_y \cdot (C_1 z^2 + 2C_2 z) \\ Q_x(z) &= -EJ_y \cdot C_1 \end{aligned} \right\} \quad \dots \quad (15)_{a-d}$$

Anfangsparameter 法は $z=0$ における端末条件を代入すると、

$$u_{M0} = C_4, \quad \theta_{y0} = C_3, \quad M_{y0} = -2EJ_y \cdot C_2, \quad Q_{x0} = -6EJ_y \cdot C_1 \quad \dots \quad (16)_{a-d}$$

左記 $u_M(z) = u_{M0} + \theta_{y0} \cdot z - \frac{M_{y0}}{2EJ_y} \cdot z^2 - \frac{Q_{x0}}{6EJ_y} \cdot z^3$
 $\theta_y(z) = \theta_{y0} - \frac{M_{y0}}{EJ_y} \cdot z - \frac{Q_{x0}}{2EJ_y} \cdot z^2$
 $M_y(z) = M_{y0} + Q_{x0} \cdot z$
 $Q_x(z) = Q_{x0}$

Abb. 5. 曲げとせん断と部材要素

$u_s(z) = D_1 z + D_2$

$$Q_x(z) = GA_{sx} \cdot D_1 \quad \dots \quad (18)_a$$

Anfangsparameter 法は $z=0$, $u_s(z) = u_{s0} + \frac{Q_{x0}}{GA_{sx}} \cdot z, \quad Q_x(z) = Q_{x0} \quad \dots \quad (19)_{a-b}$

従つて, $u(z) = u_M(z) + u_s(z)$ であること, 機械角は曲げによる機械角成分 $u'_M(z)$ とせん断部材との連続の条件を満たすことを考慮すれば, 式(17)と式(20)となる。但し $\theta_y(z) = u'_M(z)$

$$\left. \begin{aligned} u(z) &= u_0 + \theta_{y0} \cdot z - \frac{M_{y0}}{2EJ_y} \cdot z^2 - Q_{x0} \left(\frac{z^3}{6EJ_y} - \frac{z}{GA_{sx}} \right) \\ \theta_y(z) &= \theta_{y0} - \frac{M_{y0}}{EJ_y} \cdot z - \frac{Q_{x0}}{2EJ_y} \cdot z^2 \\ M_y(z) &= M_{y0} + Q_{x0} \cdot z \\ Q_x(z) &= Q_{x0} \end{aligned} \right\} \quad \dots \quad (20)_{a-d}$$

式(20)に $z=l$ における端末条件を代入すると式(21)を得る。

$$\left. \begin{aligned} u_l &= u_0 + \theta_{y0} \cdot l - \frac{M_{y0}}{2EJ_y} \cdot l^2 - Q_{x0} \left(\frac{l^3}{6EJ_y} - \frac{l}{GA_{sx}} \right) \\ \theta_{yl} &= \theta_{y0} - \frac{M_{y0}}{EJ_y} \cdot l - \frac{Q_{x0}}{2EJ_y} \cdot l^2 \\ M_{yl} &= M_{y0} + Q_{x0} \cdot l \\ Q_{xl} &= Q_{x0} \end{aligned} \right\} \quad \dots \quad (21)_{a-d}$$

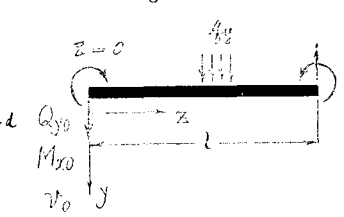


Abb. 6. 曲げとせん断と部材要素

式(21)に M_{y0}, M_{yl}, Q_{x0} および Q_{xl} を代入して解いてスリーナス表示をすると、式(22)を得る。

但し、要素法における記号と方向の慣習に従つて変換されていく。ここで, $\eta_x = \frac{12EJ_y}{GA_{sx}l^2}$

$$\begin{bmatrix} Q_{xi} \\ My_i \\ Q_{xj} \\ My_j \end{bmatrix} = \frac{1}{1+\eta_x} \cdot \begin{bmatrix} \frac{12EJ_y}{l^3} & \frac{6EJ_y}{l^2} & -\frac{12EJ_y}{l^2} & \frac{6EJ_y}{l^2} \\ \frac{6EJ_y}{l^2} & (4+\eta_x)\frac{EJ_y}{l} & -\frac{6EJ_y}{l^2} & (2-\eta_x)\frac{EJ_y}{l} \\ -\frac{12EJ_y}{l^3} & -\frac{6EJ_y}{l^2} & \frac{12EJ_y}{l^3} & -\frac{6EJ_y}{l^2} \\ \frac{6EJ_y}{l^2} & (2-\eta_x)\frac{EJ_y}{l} & -\frac{6EJ_y}{l^2} & (4+\eta_x)\frac{EJ_y}{l} \end{bmatrix} \begin{bmatrix} u_i \\ \theta_{yi} \\ u_j \\ \theta_{yj} \end{bmatrix} \quad \dots \quad (22)$$

固有振動数 ω は、 $x-y-z$ 平面内に固有の剛性マトリックスを得られ式(23)のようになる。ここで $\gamma_y = \frac{12EJ_x}{GA_{sy}l^3}$

$$\begin{bmatrix} Q_{xi} \\ M_{xi} \\ Q_{yz} \\ M_{xz} \end{bmatrix} = \frac{1}{1+\gamma_y} \cdot \begin{bmatrix} \frac{12EJ_x}{l^3} & -\frac{6EJ_x}{l^2} & -\frac{12EJ_x}{l^3} & -\frac{6EJ_x}{l^2} \\ -\frac{6EJ_x}{l^2} & (4+\gamma_y)\frac{EJ_x}{l} & \frac{6EJ_x}{l^2} & (2-\gamma_y)\frac{EJ_x}{l} \\ -\frac{12EJ_x}{l^3} & \frac{6EJ_x}{l^2} & \frac{12EJ_x}{l^3} & \frac{6EJ_x}{l^2} \\ -\frac{6EJ_x}{l^2} & (2-\gamma_y)\frac{EJ_x}{l} & \frac{6EJ_x}{l^2} & (4+\gamma_y)\frac{EJ_x}{l} \end{bmatrix} \begin{bmatrix} v_x \\ \theta_{xz} \\ v_y \\ \theta_{xy} \end{bmatrix} \quad \text{--- (23)}$$

(3)、曲げねじれに関する剛性マトリックス セル断変形の影響を考慮して(曲げねじれ理論から曲げねじれに関する剛性マトリックスを導く。こ)で留意すべきことは曲げねじれモーメントと仕事とは共軸量はねじれ角 θ_s であり、それモーメント T_z とは仕事とは共軸量はねじれ角 θ_s' である。すなはち、 $[T_z, \theta_s], [M_w, \theta_s']$ となる。式(2)及(4) $\frac{d\theta_s(z)}{dz}$ を消去して、式(24)を得る。

$$\frac{d^4\theta_s(z)}{dz^4} - \lambda^2 \frac{d^2\theta_s(z)}{dz^2} = -\frac{\mu}{EJ_w} \cdot T_z, \quad \lambda^2 = \mu \frac{GJ_T}{EJ_w} \quad \text{--- (24)a,b}$$

部材要素上には分布荷重が作用しないとすから、式(23)に属する同次微分方程式が有効である。

$$\frac{d^4\theta_s(z)}{dz^4} - \lambda^2 \frac{d^2\theta_s(z)}{dz^2} = 0 \quad \text{--- (25)}$$

式(25)の一般解は $\theta_s(z) = C_1 \sinh \lambda z + C_2 \cosh \lambda z + C_3 \cdot z + C_4$ --- (26)

式(2)・(4)及び式(26)を考慮して、

$$\left. \begin{array}{l} M_w(z) = -EJ_w(C_1 \lambda^2 \sinh \lambda z + C_2 \lambda^2 \cosh \lambda z) \\ T_z(z) = GJ_T \cdot C_3 \end{array} \right\} \quad \text{--- (27)a,b}$$

Anfangsparameter 法(2)、 $z=0$ における端条件を代入すると、

$$\theta_{s0} = C_2 + C_4, \quad \theta'_{s0} = \lambda C_1 + C_3, \quad M_{w0} = -\lambda^2 EJ_w C_2, \quad T_{z0} = GJ_T C_3 \quad \text{--- (28)a-d}$$

故に、式(29)を得る。

$$\left. \begin{array}{l} \theta_s(z) = \theta_{s0} + \theta'_{s0} \frac{1}{\lambda} \sinh \lambda z + \frac{M_{w0}}{\mu GJ_T} (1 - \cosh \lambda z) + \frac{T_{z0}}{\lambda GJ_T} (\lambda z - \sinh \lambda z) \\ \theta'_s(z) = \theta'_{s0} \cosh \lambda z - \frac{M_{w0}}{\mu GJ_T} \lambda \sinh \lambda z + \frac{T_{z0}}{GJ_T} (1 - \cosh \lambda z) \\ M_{w}(z) = -\theta'_{s0} \frac{\mu}{\lambda} GJ_T \sinh \lambda z + M_{w0} \cosh \lambda z + T_{z0} \frac{\mu}{\lambda} \sinh \lambda z \\ T_z(z) = T_{z0} \end{array} \right\} \quad \text{--- (29)a-d}$$

次に式(2)bより、1回積分して式(30)を得て式(29)a-dを代入する。

$$\theta_s(z) = \mu \theta_s(z) + \frac{T_{z0}(z)}{GJ_T} \cdot z + C \quad \text{--- (30)}$$

$$\theta_s(z) = \theta'_{s0} \frac{\mu}{\lambda} \sinh \lambda z + \frac{M_{w0}}{GJ_T} (1 - \cosh \lambda z) + \frac{T_{z0}}{GJ_T} \frac{\mu}{\lambda} (\lambda z - \sinh \lambda z) + \frac{T_{z0}}{GJ_T} \cdot z + C$$

ここで、Anfangsparameter 法(2)、 $z=0$ における端条件を代入すると、式(31)を得る。

$$\theta_s(z) = \theta_{s0} + \theta'_{s0} \frac{\mu}{\lambda} \sinh \lambda z + \frac{M_{w0}}{GJ_T} (1 - \cosh \lambda z) + \frac{T_{z0}}{GJ_T} \frac{1}{\lambda} (\lambda z - \mu \sinh \lambda z) \quad \text{--- (31)}$$

従って式(29)a-dと式(31)を用いて、 $z=l$ における端条件を代入すると式(32)を得られる。

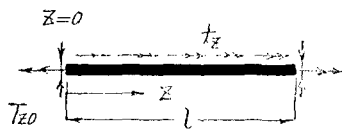


Abb. 7. 組合せ曲げねじれ部材要素

$$\left. \begin{aligned} \theta_{2l} &= \theta_{20} + \theta'_{20} \frac{\mu}{\lambda} sh\lambda l + \frac{M_{20}}{GJ_T} (1 - ch\lambda l) + \frac{T_{20}}{GJ_T} \frac{1}{\lambda} (\lambda l - \mu sh\lambda l) \\ \theta'_{2l} &= \theta'_{20} ch\lambda l - \frac{M_{20}}{GJ_T} \frac{\lambda}{\mu} sh\lambda l + \frac{T_{20}}{GJ_T} (1 - ch\lambda l) \\ M_{2l} &= -\theta'_{20} \frac{\mu}{\lambda} GJ_T sh\lambda l + M_{20} ch\lambda l + T_{20} \frac{\mu}{\lambda} sh\lambda l \\ T_{2l} &= T_{20} \end{aligned} \right\} \quad \text{--- (32)_{a-d}}$$

式(32) で T_{20} , M_{20} , T_{2l} , M_{2l} を λ で解いて λ について表すと式(33)を得る。ただし、変位法における記号と方向の慣習に従って整理されていく。

$$\left[\begin{array}{c} T_{2i} \\ M_{wi} \\ T_{2j} \\ M_{wj} \end{array} \right] = \frac{EJ_{w0}}{D} \left[\begin{array}{cccc} \lambda^3 sh\lambda l & \mu\lambda^2(ch\lambda l - 1) & -\lambda^3 sh\lambda l & \mu\lambda^2(ch\lambda l - 1) \\ \mu\lambda^2(ch\lambda l - 1) & \mu\lambda(\lambda ch\lambda l - \mu sh\lambda l) - \mu\lambda^2(ch\lambda l - 1) & \mu\lambda(\mu sh\lambda l - \lambda l) & \\ -\lambda^3 sh\lambda l & -\mu\lambda^2(ch\lambda l - 1) & \lambda^3 sh\lambda l & -\mu\lambda(ch\lambda l - 1) \\ \mu\lambda^2(ch\lambda l - 1) & \mu\lambda(\mu sh\lambda l - \lambda l) - \mu\lambda^2(ch\lambda l - 1) & \mu\lambda(\lambda ch\lambda l - \mu sh\lambda l) & \end{array} \right] \left[\begin{array}{c} \theta_{2i} \\ \theta'_{2i} \\ \theta_{2j} \\ \theta'_{2j} \end{array} \right] \quad \text{--- (33)}$$

$$D = \mu \{ \lambda sh\lambda l - 2\mu(ch\lambda l - 1) \}$$

(4) 立体ラーメン薄肉部材要素の剛性マトリックスと、せん断变形を考慮した立体ラーメン薄肉部材要素の剛性マトリックスは式(12), (22), (23)および(33)を組合せることによって求められる。すなはち力と変形のベクトル $P = [Q_{xi}, Q_{yi}, N_{xi}, M_{xi}, My_i, Tai, Mai, Q_{xj}, Q_{yj}, N_{xj}, M_{xj}, M_{yj}, Tej, M_{wj}]^*$,

$d = [u_i, v_i, w_i, \theta_{xi}, \theta_{yi}, \theta'_{xi}, u_j, v_j, w_j, \theta_{xj}, \theta_{yj}, \theta'_{xj}, \theta'_{yj}]^*$ を用いて、式(34)を得る。

$P = K \cdot d \quad \text{--- (34)}$ ここで、 P と d は 14 要素の列ベクトルで、 K は 14×14 の正方マトリックスである。求めた剛性マトリックスである。 K は示すと式(35)となる。

$$K = \left[\begin{array}{cccccccccccc} \frac{12EJ_y}{(1+\eta_x)\ell^3} & \cdot & \cdot & \frac{6EJ_y}{(1+\eta_x)\ell^2} & \cdot & \cdot & \frac{12EJ_y}{(1+\eta_x)\ell^3} & \cdot & \cdot & \frac{6EJ_y}{(1+\eta_x)\ell^2} & \cdot & \cdot & \cdot \\ \frac{12EJ_x}{(1+\eta_y)\ell^3} & \cdot & -\frac{6EJ_x}{(1+\eta_y)\ell^2} & \cdot & \cdot & \cdot & \frac{12EJ_x}{(1+\eta_y)\ell^3} & \cdot & -\frac{6EJ_x}{(1+\eta_y)\ell^2} & \cdot & \cdot & \cdot & \cdot \\ \frac{EJ_h}{\ell} & \cdot & \cdot & \cdot & \cdot & \cdot & \frac{EJ_h}{\ell} & \cdot & \cdot & \cdot & \cdot & \cdot & \cdot \\ \frac{(4+\eta_x)EJ_x}{(1+\eta_x)\ell} & \cdot & \cdot & \cdot & \frac{6EJ_x}{(1+\eta_x)\ell^2} & \cdot & \frac{(4+\eta_y)EJ_x}{(1+\eta_y)\ell} & \cdot & \frac{6EJ_x}{(1+\eta_y)\ell^2} & \cdot & \cdot & \cdot & \cdot \\ \frac{(4+\eta_y)EJ_y}{(1+\eta_y)\ell} & \cdot & \cdot & \cdot & \cdot & \frac{6EJ_y}{(1+\eta_y)\ell^2} & \cdot & \frac{(4+\eta_x)EJ_y}{(1+\eta_x)\ell} & \cdot & \frac{6EJ_y}{(1+\eta_x)\ell^2} & \cdot & \cdot & \cdot \\ \frac{EJ_w Y_{11}}{D} & \frac{EJ_w Y_{12}}{D} & \cdot & \cdot & \frac{EJ_w Y_{21}}{D} & \frac{EJ_w Y_{22}}{D} & \cdot & \cdot & \cdot & \cdot & -\frac{EJ_w Y_{13}}{D} & \frac{EJ_w Y_{14}}{D} & \cdot \\ \frac{EJ_w Y_{13}}{D} & \frac{EJ_w Y_{14}}{D} & \cdot & \cdot & \frac{EJ_w Y_{23}}{D} & \frac{EJ_w Y_{24}}{D} & \cdot \\ \frac{12EJ_y}{(1+\eta_x)\ell^3} & \cdot & \cdot & \frac{6EJ_y}{(1+\eta_x)\ell^2} & \cdot & \cdot & \frac{12EJ_y}{(1+\eta_x)\ell^3} & \cdot & \frac{6EJ_y}{(1+\eta_x)\ell^2} & \cdot & \cdot & \cdot & \cdot \\ \frac{12EJ_x}{(1+\eta_y)\ell^3} & \cdot & \cdot & \frac{6EJ_x}{(1+\eta_y)\ell^2} & \cdot & \cdot & \frac{12EJ_x}{(1+\eta_y)\ell^3} & \cdot & \frac{6EJ_x}{(1+\eta_y)\ell^2} & \cdot & \cdot & \cdot & \cdot \\ \frac{(4+\eta_y)EJ_x}{(1+\eta_y)\ell} & \cdot & \cdot & \cdot & \frac{6EJ_x}{(1+\eta_y)\ell^2} & \cdot & \frac{(4+\eta_x)EJ_x}{(1+\eta_x)\ell} & \cdot & \frac{6EJ_x}{(1+\eta_x)\ell^2} & \cdot & \cdot & \cdot & \cdot \\ \frac{(4+\eta_x)EJ_y}{(1+\eta_x)\ell} & \cdot & \cdot & \cdot & \cdot & \frac{6EJ_y}{(1+\eta_x)\ell^2} & \cdot & \frac{(4+\eta_y)EJ_y}{(1+\eta_y)\ell} & \cdot & \frac{6EJ_y}{(1+\eta_y)\ell^2} & \cdot & \cdot & \cdot \\ \text{Symm.} & & & & & & & & & & \frac{EJ_w Y_{11}}{D} & \frac{EJ_w Y_{12}}{D} & \frac{EJ_w Y_{21}}{D} \\ & & & & & & & & & & & & & \end{array} \right] \quad \text{--- (35)}$$

$T_{2l} = 0$, $Y_{11} = \lambda^3 sh\lambda l$, $Y_{12} = \mu\lambda^2(ch\lambda l - 1)$, $Y_{13} = Y_{11}$, $Y_{14} = Y_{12}$, $Y_{22} = \mu\lambda(\lambda ch\lambda l - \mu sh\lambda l)$, $Y_{23} = Y_{12}$, $Y_{24} = \mu\lambda(\mu sh\lambda l - \lambda l)$

4. 数値計算例 応力法による

解析結果と比較するため、文献
〔8〕に示された連続桁について
解析の 断面積は次の通りである。

$$J_w = 2,230 \text{ m}^6, J_t = 0,668 \text{ m}^4$$

$$\mu = 0,328, J_c = 0,994 \text{ m}^4$$

Abb. 8 は中間支点 6 における曲げねじれモーメントの影響線である。当然のことながら文献〔8〕の結果と全く一致している。数多くの計算例は割愛する。

5. あとがき 本文はせん断変形の影響を考慮した剛性マトリックスを計算して薄肉骨組構造物の立体解析を可能にしたものである。この場合、薄肉部材要素とせん断中心軸は一致しているものとする。この結果薄内部材要素と構成要素とする各種構造物の解析が簡単に求められることになる。この計算には Universität (TH) Karlsruhe Rechenzentrum UNIVAC 1108 を用いたことを附記する。

参考文献：

- [1] WAGNER, H. & PRETSCHNER, W. : Verdrehung und Kriechung von offenen Profilen, Luftfahrt-Forschung, Band 11, 1934.
- [2] KAPPUS, R. : Drillbrücken zentrisch gedrückter Stäbe mit offenem Profil im elastischen Bereich, Luftfahrt-Forschung, Band 14, 1937.
- [3] BORNSTEINER, F. W. : Systematische Darstellung des Biege- und Verdrehvorganges unter besonderer Berücksichtigung der Wölbkrafttorsion, Stahlbau, Heft 1, 1952.
- [4] WLISSOW, W. Z. : Dünnwandige elastische Stäbe, Band 1, VEB Verlag für Bauwesen, 1964.
- [5] BENSCOTER, S. L. : A Theory of Torsion Bending of Multicell Beams, Journal of Applied Mechanics, Vol. 21, 1954.
- [6] HEILIG, R. : Der Schubverformungseinfluss auf die Wölbkrafttorsion von Stäben mit offenem Profil, Stahlbau, Heft 4, 1961 und Beitrag zur Theorie der Kastenträger beliebiger Querschnittsform, Stahlbau, Heft 11, 1961.
- [7] GRASSE, W. : Wölbkrafttorsion dünnewandiger prismatischer Stäbe beliebigen Querschnitts, Ingenieur-Archiv, Band 34, 1965.
- [8] ROIK, K. & SEDLACEK, G. : Theorie der Wölbkrafttorsion unter Berücksichtigung der sekundären Schubverformungen Analogiebetrachtung zur Berechnung des zuerst belasteten Zustandes, Stahlbau, Heft 2, 1966.
- [9] SAEKI, N. : Warping Torsion Theory in Consideration of the Deformation due to Secondary Shearing Stress and its Numerical Examples, The Proceedings of JSCE, No. 209, 1973.
- [10] ARGYRIS, J. H. und RADAT, D. : Steifigkeitsmatrizen dünnewandiger Stäbe und Stabsysteme, Ingenieur-Archiv, Band 40, 1971.
- [11] ROIK, K., CARL J. und LINDNER J. : Biegetorsionprobleme gerader dünnewandiger Stäbe, Wilhelm Ernst & Sohn, Berlin, München ..., 1972]